

Laboratorium z Krystalografii
specjalizacja: *Fizykochemia związków nieorganicznych*

Charakterystyka promieniowania molibdenowej lampy rentgenowskiej.

2godz.

Cel ćwiczenia: rejestracja i wyznaczenie linii charakterystycznych dla molibdenowej lampy rentgenowskiej przy użyciu kryształu KBr i LiF jako analizatora.

Wstęp teoretyczny

Promieniowanie rentgenowskie.

Promieniowanie rentgenowskie jest promieniowaniem elektromagnetycznym, którego długość fali jest zawarta w przedziale od 0.05\AA do 100\AA . Obejmuje ono część widma zawarta między nadfioletem a promieniowaniem γ .

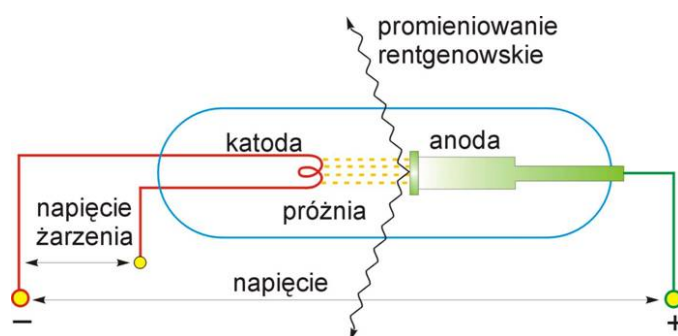
Tablica 1. Długości fal promieniowania elektromagnetycznego.

radiowe	mikrofale	IR	UV/VIS	X	γ
do 30 cm	300 – 1 mm	1000 – $0.77\mu\text{m}$	770 – 10nm	10 – 0.005nm	$> 0.5\text{nm}$

Gdy wiązka promieni rentgenowskich przechodzi przez ośrodek materialny mogą wystąpić następujące zjawiska:

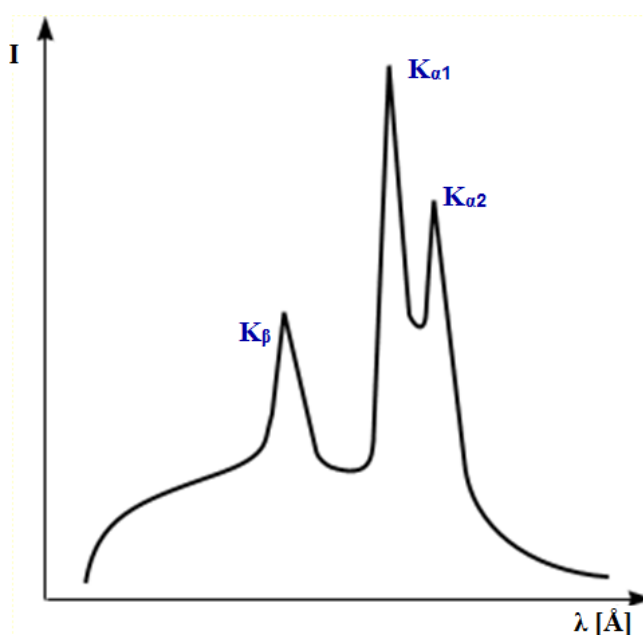
- Załamanie
- Rozpraszanie Rayleigha
- Rozpraszanie Comptona
- Fluorescencja
- absorpcja

Promieniowanie rentgenowskie wytwarzane jest w lampie rentgenowskiej (rys.1).



Rys.1. Schemat lampy rentgenowskiej

Podgrzana katoda jest źródłem elektronów, które następnie są przyspieszane napięciem przyspieszającym, osiągając duże energie. W bańce jest próżnia, by elektrony nie rozpraszały się na cząsteczkach powietrza. Rozpędzone elektrony padają na anodę i zostają w niej wyhamowane, a każdy ładunek, który ulega przyspieszeniu emituje fale elektromagnetyczne. W lampie rentgenowskiej atom wiązki padającej może wybić elektron z powłoki, czym spowoduje wysokie wzbudzenie atomu (ubył jeden z elektronów o bardzo dużej energii wiązania). Atom ostatecznie powróci do stanu podstawowego, emitując serię fotonów wysokoenergetycznych. W ten sposób powstaje charakterystyczne widmo rentgenowskie atomów anody. Całkowite widmo promieniowania emitowanego przez lampę rentgenowską składa się z widma liniowego, nałożonego na widmo ciągłe. Widmo ciągłe powstaje w wyniku procesów hamowania, gdy elektrony z wiązki doznają przyspieszeń i opóźnień w trakcie rozpraszania na jądrach atomów anody. Natomiast kształt widma charakterystycznego jest charakterystyczny dla atomów konkretnego pierwiastka anody (rys.2).

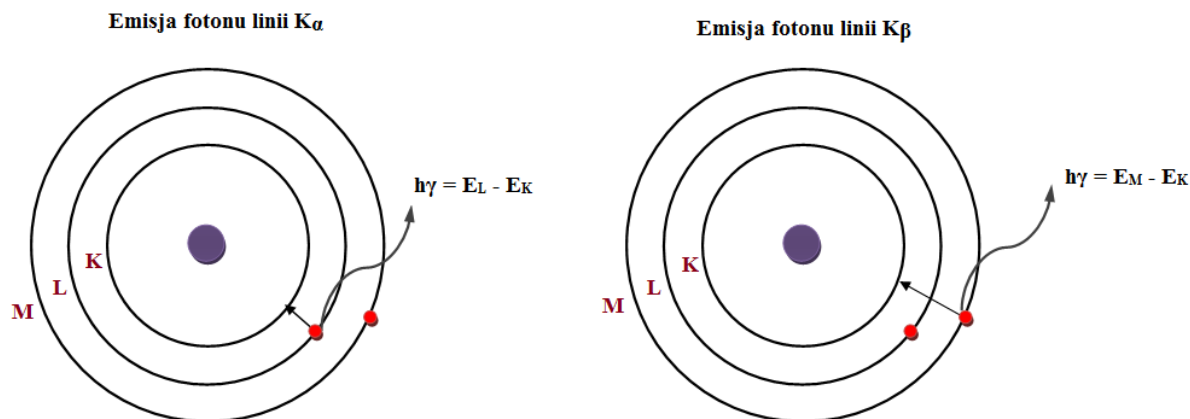


Rys. 2. Rozkład natężenia promieniowania ciągłego i charakterystycznego.

Do opisu powstawania charakterystycznych widm rentgenowskich bardzo przydatne jest pojęcie dziury tworzącej się w jednym z poziomów o wyższej energii jonizacji i przeskakującej przez kolejne poziomy o niższej energii. W każdym przeskoku emitowany jest foton rentgenowski, o częstotliwości ν i energii $E = h\nu$. Całe emitowane w takich przejściach promieniowanie rentgenowskie daje liniowe widmo rentgenowskie atomu. Po wybiciu elektronu z powłoki K powstaje po nim dziura, która może być zapełniona przez elektron z wyższej powłoki (dziura wędruje na kolejne powłoki) – rys.3. Wszystkie przejścia dziury z powłoki K dają linię z tzw. serii K :

K_{α} - przejście dziury do powłoki L

K_{β} - przejście dziury do powłoki M



Rys.3. Powstawanie promieniowania charakterystycznego.

Prawo Moseleya:

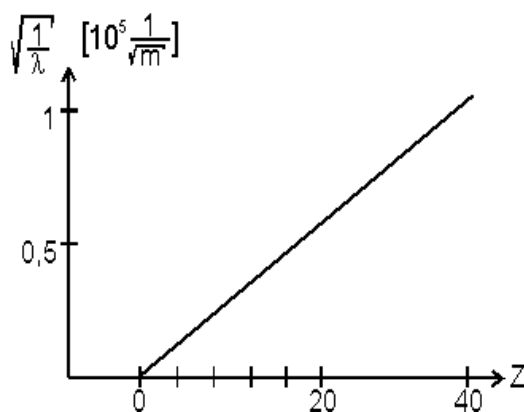
Długość promieniowania charakterystycznego zmniejsza się odwrotnie proporcjonalnie do kwadratu liczby atomowej Z .

$$\frac{1}{\lambda} = R(Z - \sigma)^2 \left(\frac{1}{n_1^2} - \frac{1}{n_2^2} \right) \quad (1)$$

Gdzie:

R - stała Rydberga

σ - jest stałą ekranowania (dla linii K_α stała ekranowania jest równa jedności).



Rys.4. Graficzna interpretacja prawa Moseleya.

Najbardziej charakterystyczną cechą krzywych rozkładu widmowego jest istnienie dla danej wartości energii elektronów dobrze określonej minimalnej długości fali λ_{\min} , zwanej krótkofalową granicą promieniowania. Choć kształt krzywej rozkładu dla widma ciągłego promieniowania rentgenowskiego zależy nieznacznie od wyboru materiału anody, jak również od napięcia U przyspieszającego elektrony, to wartość λ_{\min} zależy jedynie od U i jest taka sama dla wszystkich materiałów, z jakich wykonane są anody.

Natomiast jeśli promieniowanie rentgenowskie traktujemy jako strumień fotonów, to wyjaśnienie obserwowanych faktów jest proste. Elektron w wyniku oddziaływania z ciężkim

jądrem atomu anody jest hamowany i energia, którą wówczas traci pojawia się w formie kwantów - fotonów promieniowania rentgenowskiego.

Foton o najmniejszej długości fali będzie emitowany wtedy, gdy elektron straci całą swoją energię kinetyczną w jednym procesie zderzenia hamującego jego ruch. Energia, jaką nabywa elektron w wyniku przyspieszania go za pomocą różnicy potencjałów U przyłożonej w lampie rentgenowskiej jest opisana wzorem:

$$eU = \frac{hc}{\lambda_{\min}} \quad (2)$$

czyli

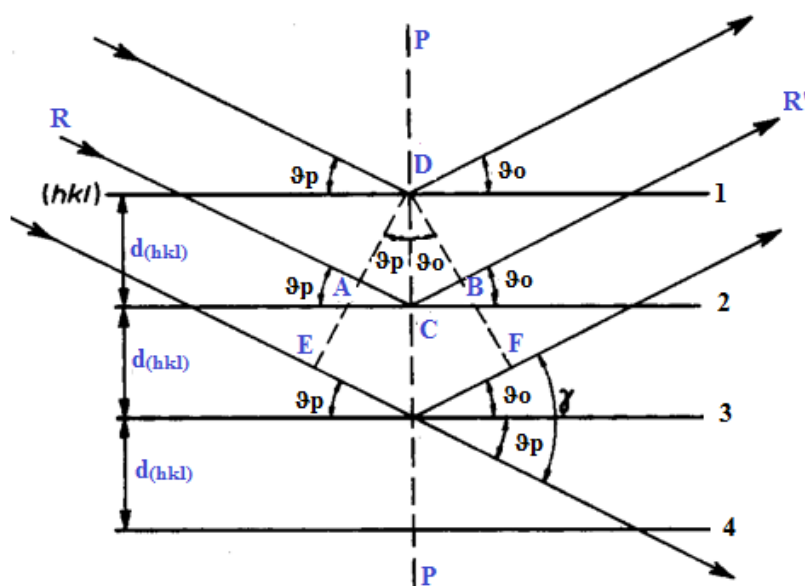
$$\lambda_{\min} = \frac{hc}{eU} \quad (3)$$

Tak więc minimalna długość fali występująca w widmie ciągłym, czyli krótkofalowa granica widma, odpowiada zamianie całej energii kinetycznej elektronów na promieniowanie rentgenowskie.

Analiza polichromatycznego promieniowania rentgenowskiego możliwa jest z zastosowaniem monokryształu. Gdy promieniowanie rentgenowskie o długości fali λ pada na monokryształ pod kątem Θ (rys. 5), interferencja zachodzi, gdy różnica dróg Δ promieni odbitych od różnych płaszczyzn atomowych kryształu jest wielokrotnością długości fali. Sytuację powyższą opisuje równanie Bragga:

$$2d_{hkl} \sin \theta = n\lambda \quad (4)$$

gdzie d_{hkl} – odległość międzypłaszczyznowa, n - rząd dyfrakcji.



Rys. 5. Rozpraszanie Bragga na płaszczyznach atomowych.

Znając odległość międzypłaszczyznową d_{hkl} analizatora (kryształ KBr lub LiF) i eksperymentalnie wyznaczając kąt Θ , możemy wyznaczyć energię linii charakterystycznych promieniowania X korzystając z równania (5):

$$E = h\nu = \frac{hc}{\lambda} \quad (5)$$

lub korzystając z równania (6):

$$E = \frac{nhc}{2d_{hkl}\sin\theta} \quad (6)$$

Sprzęt i odczytniki: dyfraktometr PHYWE, komputer PC wraz z oprogramowaniem PHYWE Measure, kryształ KBr



Rys. 5. Dyfraktometr rentgenowski PHYWE.

Wykonanie ćwiczenia:

Część I. Przygotowanie dyfraktometru do pracy.

- 1.1. Zamocować przesłonę na wyjściu promieniowania X o grubości 1 mm.
- 1.2. Ustawić goniometr w pozycji 4.
- 1.3. Zamocować kryształ KBr lub LiF w komorze eksperymentalnej.
- 1.4. Komputerowo ustawić parametry pracy dyfraktometru.
- 1.5. W zależności od wybranego kryształy wprowadzić następujące dane do programu „Measure”:

KBr	LiF
napięcie anodowe – 35 kV	napięcie anodowe – 35 kV
prąd anodowy – 1mA	prąd anodowy – 1mA
czas zliczania – 2s	czas zliczania – 2s
krok kątowy – 0.1°	krok kątowy – 0.1°
kąt początkowy - 3°	kąt początkowy - 4°
kąt końcowy - 30°	kąt końcowy - 65°

Część II. Rejestracja widma.

- 2.1. Nacisnąć klawisz „continue” i rozpocząć pomiar.
- 2.2. Zarejestrować widmo (zmierzyć zależności i intensywności promieniowania X od kąta Bragga w zadanym przedziale kąta Θ).

2.3. Po zarejestrowaniu widma, nacisnąć „stop measurement”, a następnie zapisać w pamięci komputera i w pamięciach przenośnych np. dyskietka, pendrive.

Część III. Obróbka danych pomiarowych.

- 3.1. Korzystając z równania Bragga (4) obliczyć maksymalny rząd refleksów możliwych do zarejestrowania.
- 3.2. Odczytać z wykresu $I(\Theta)$ położenia (maxima) linii charakterystycznych molibdenowej lampy rentgenowskiej dla wszystkich rzędów dyfrakcji.
- 3.3. Korzystając z równania (6) wyznaczyć wartości eksperymentalne energii dla linii K_α i K_β .
- 3.4. Korzystając ze schematu poziomów energetycznych dla molibdenu oraz z poniższego wzoru, obliczyć teoretyczne wartości energii dla linii K_α i K_β .

$$E_{K\alpha^*} = E_K - \frac{1}{2}(E_{L2} + E_{L3})$$

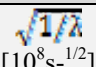
$$E_{K\beta} = E_K - E_{M2,3}$$

$E_{K\alpha^*}$ - średnia wartość energii linii $K_{\alpha1}$ i $K_{\alpha2}$.

3.5. Wyniki przedstawić w postaci tabeli:

n	Θ	linia	E_{exp}	E_{cal}

3.6. Na podstawie danych eksperymentalnych uzupełnić poniższą tabelę.

	n = 1				n = 2				
	$\Theta(K_\alpha)[^\circ]$	$\lambda(K_\alpha)[\text{pm}]$	$\Theta(K_\beta)[^\circ]$	$\lambda(K_\beta)[\text{pm}]$	$\Theta(K_\alpha)[^\circ]$	$\lambda(K_\alpha)[\text{pm}]$	$\Theta(K_\beta)[^\circ]$	$\lambda(K_\beta)[\text{pm}]$	 [10 ⁸ s ^{-1/2}]
Mo (Z=42)									

Zachować wyniki doświadczenia.

Część IV. Zadania do rozwiązania.

1. Obliczyć granicę krótkofalowej części widma ciągłego przy napięciach pracy lampy rentgenowskiej $V_1 = 10\text{kV}$, $V_2 = 20\text{kV}$, $V_3 = 40\text{kV}$. Jak zmienia się długość fali na granicy krótkofalowej w zależności od napięcia lampy?
2. Obliczyć prędkość i energię elektronów uderzających w anodę lampy rentgenowskiej pracującej przy napięciu $V_1 = 10\text{kV}$ i $V_2 = 40\text{kV}$.
3. Obliczyć długość fali promieniowania K_α i K_β molibdenu, miedzi oraz chromu przedstawić graficzną postać prawa Moseleya.

4. Jak jest moc lampy rentgenowskiej przy zasilaniu jej całkowicie wyprostowanym napięciem $V=40\text{kV}$ i prądzie $i = 25 \text{ mA}$. Jeżeli jest to moc maksymalna, to jakie jest dopuszczalne natężenie prądu przy napięciu $V_1=50\text{kV}$, a jakie przy $V_2 = 60\text{kV}$.
5. Lampa rentgenowska z anodą wolframową pracuje przy napięci $V = 40\text{kV}$ i natężeniu $i = 25\text{mA}$. Energia elektronów zamieniana na ciepło wynosi $\eta = 99\%$. Jeżeli pominąć odprowadzenie ciepła, to po jakim czasie anoda o masie $m = 0,1 \text{ kg}$ ulegnie stopieniu? Temperatura topnienia wolframu $T_t = 3370^\circ\text{C}$, ciepło topnienia $c_t = 184 \cdot 10^3 \text{ J/kg}$, ciepło właściwe $1536\text{J/kg}\cdot^\circ\text{C}$, temperatura otoczenia $T_0 = 20^\circ\text{C}$.
6. Obliczyć, jaka musi być szybkość przepływu wody chłodzącej przez miedzianą anodę lampy, aby odprowadzić ciepło wydzielone w czasie jej pracy przy napięciu $V=40\text{kV}$ i natężeniu $i = 10\text{mA}$. Sprawność lampy $\eta = 1\%$. Różnica temperatury wody na wejściu i wyjściu lampy nie powinna przekraczać $\Delta T=2^\circ\text{C}$. Ciepło właściwe wody $c_w = 4186,7 \text{ J/kg}\cdot^\circ\text{C}$

Stale fizyczne

Masa elektronu

$$m_e = 9.109 \cdot 10^{-31} \text{ kg}$$

Ładunek elementarny

$$e = 1.602 \cdot 10^{-19} \text{ C}$$

Stała Plancka

$$h = 6.6261 \cdot 10^{-34} \text{ Js} = 4.1357 \cdot 10^{-15} \text{ eVs}$$

Stała dielektryczna

$$\epsilon_0 = 8.8542 \cdot 10^{-12} \text{ N}^{-1} \text{ m}^{-2} \text{ C}^2$$

Prędkość światła

$$c = 2.9979 \cdot 10^8 \text{ m/s}$$

Odległość międzypłaszczyznowa dla KBr (100)

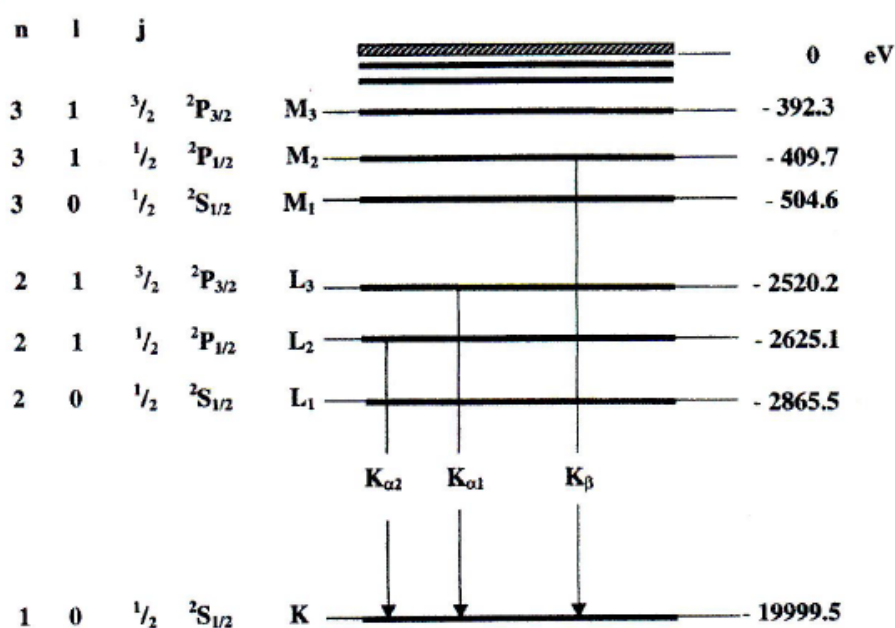
$$d = 3.290 \cdot 10^{-10} \text{ m}$$

Odległość międzypłaszczyznowa dla LiF (100)

$$d = 2.014 \cdot 10^{-10} \text{ m}$$

Literatura

1. D. Holiday, R. Resnick, J. Walker, Podstawy fizyki ,Tom V, rozdz. 41



Rys.6. Poziomy energetyczne w molibdenie (Mo, Z = 42).